

# Identificación del modelo y control de un nuevo tipo de robot para operaciones quirúrgicas

Chacón Guillen, Flor Xiomara fchacong@unsa.edu.pe

Esquivel Yanque, Miguel Angel @unsa.edu.pe

Fernandez Flores, Yorlan Gonzalo @unsa.edu.pe

Mamani Saico, Alfredo amamanisai@unsa.edu.pe

Universidad Nacional de San Agustín

Ingeniería Electrónica

Sistemas de Control Avanzado 2021 B

Profesor Asesor: Juan C Cutipa Luque

@unsa.edu.pe

**Abstract**—Continuous robot technology is inspired by life forms in nature, it is physically very flexible and has a non-linear behavior. In addition, its dynamics are not unique, which makes its study a challenge. In this paper we are going to carry out a study on two control methods for the system of a continuous robotic manipulator, the control by sliding modes allows us to follow the trajectory of an estimated value, but it presents an error known as *Chattering*, which is solved from a *saturation* function. While the LQR control allows us to minimize the cost of a system from two intuitively chosen matrices and its control law is obtained by feedback.

**Index Terms**—SMC, LQR, Continuous Robot, Control, Model

**Abstract**—La tecnología de los robots continuos está inspirado en formas de vida en la naturaleza, físicamente es muy flexible y tienen un comportamineto no lineal. Además, su dinamica no es única, lo que hace que su estudio sea un desafío. En este trabajo se dispone a realizar un estudio sobre dos métodos de control para el sistema de un manipulador robotico continuo, el control por modos deslizantes nos permite seguir la trayectoria de un valor estimado, pero presenta un error conocido como *Chattering*, lo cual se soluciona a partir de una función *saturación*. Mientras que el control LQR nos permite minimizar el coste de un sistema a partir de dos matrices escogidos intuitivamente y su ley de control se obtiene por realimentación.

**Index Terms**—SMC, LQR, Robot continuo, Control, Modelo

## I. INTRODUCCIÓN

**L**AS enfermedades gastrointestinales son enfermedades que afectan al esófago, estomago e intestinos son causadas generalmente por bacterias, virus, parásitos y algunos alimentos como leche y grasas, aunque a veces también son causadas por el exceso de medicamentos ingeridos. Mundialmente, las infecciones gastrointestinales son una de las causas más importantes de morbilidad entre los lactantes y los niños, sin embargo, las infecciones agudas del tracto gastrointestinal figuran entre las enfermedades infecciosas más frecuentes. [1]

Las diversas pruebas que se deben de realizar a este tipo de pacientes van desde Análisis ecográfico (ecografía) hasta la endoscopia y laparoscopia, las cuales se utilizan para visualización directa de la cavidad de los órganos. [2]. Estas pruebas ayudan a localizar, diagnosticar y, en algunos casos,

tratar el problema. Aunque las pruebas diagnósticas pueden ser muy útiles para determinar la presencia o ausencia de ciertos trastornos médicos, también pueden resultar caras y, con muy poca frecuencia, provocar hemorragia o lesión, sin embargo las molestias que causa son considerables al momento de uso.

Para reducir las molestias y el tiempo de preparación, el uso de robots continuos son una posible solución, ya que su forma y capacidad para navegar por entornos exigentes tales como canales o tuberías (esofago), los convierte en una opción viable para el diseño de asistentes robóticos orientados a la cirugía endoscópica transluminal. Basados en esto el presente estudio expone un nuevo modelo para asistente robótico que pueda ayudar a procedimientos quirúrgicos como es la endoscopia. Este trabajo consiste en evaluar dos métodos de control para un manipulador robótico continuo. En la sección II, se analiza el modelado matemático de un robot continuo, seguidamente en la sección III, se diseñan dos métodos de control como SMC(Sliding Mode Control) y LQR(Linear Quadratic Regulator), en la sección IV se hacen pruebas para ambos métodos de control, en la sección V se evalúan los resultados, haciendo una comparación entre ambos métodos de control, y finalmente se desarrollan las conclusiones en la sección VI.

## II. MODELO DEL ROBOT CONTINUO

En esta sección se estudia la ecuación diferencial que caracteriza el movimiento de un Robot Continuo(RC), se considera el analisis de diseño y modelo de cinemática [9].

### A. Cinemática del sistema

El robot continuo puede ser considerado como elementos de curvatura constante de  $n$  arcos circulares [2] como muestra la figura 1. Cada arco circular representa una seccion, donde existe tres puntos de referencia(Frames) con tres ejes cada uno como se observa en la figura 2, donde los parámetros del arco están dados por:

- $\varphi_i$ : ángulo respecto al plano del arco.
- $\theta_i$ : ángulo correspondiente de la flexión de cada sección.
- $l_i$ : longitud de arco de cada sección.
- $r_i$ : radio de curvatura

Donde  $i = 1, 2$

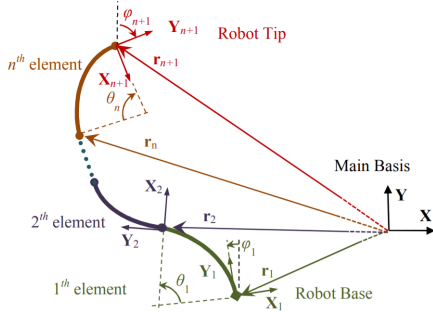


Fig. 1. Cinemática de Robot Continuo considerando  $n$  secciones [3].

Dado el espacio de configuración del robot continuo [6] se expresa como  $q \in R^4$ , donde  $q = [\theta \ \dot{\theta} \ \varphi \ \dot{\varphi}]^T$ . Cada sección tiene una subsección con longitud  $s_i$  y ángulo de flexión  $\theta_{s_i}$ , que está dado como:

$$\theta_{s_i} = s_i \frac{\theta_i}{l_i} \quad (1)$$

### B. Dinámica del sistema

La dinámica de un robot continuo se representa mediante la estructura de la Fig. 3, el cual está constituido de una columna primaria(CP), 3 columnas secundarios(CS) o actuadores unidos con una serie de discos espaciadores distribuidos uniformemente en cada sección. Para criterios de diseño los actuadores deben desplazarse libremente a través de los discos sin fricción para adaptarse a las fuerzas internas generadas sobre los actuadores.

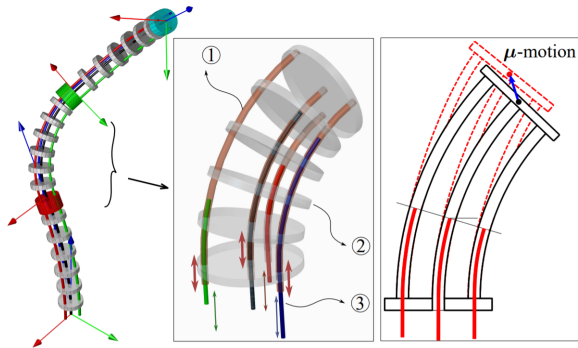


Fig. 2. Diseño de un robot continuo de 3 secciones [4] con tres actuadores secundarios.

Para controlar la dirección del robot se impulsa y tira de la columna vertebral secundaria lo que provoca una deformación del robot en forma de arco.

La forma final de la ecuación de movimiento [6] se puede expresar como:

$$M(q)\ddot{q} + V(q, \dot{q})\dot{q} + G(q) = \tau \quad (2)$$

Donde  $M(q) \in R^{4 \times 4}$  es la matriz de inercia,  $V(q) \in R^{4 \times 4}$  es la matriz del par centrífugo de Coriolis,  $G(q) \in R^4$  es la matriz de pares giratorios y  $\tau \in R^4$  los pares del robot continuo.

## III. MÉTODO DE CONTROL

### A. Control por modos deslizantes

La técnica de Control por Modos Deslizantes(SMC) se utiliza para en sistemas no lineales mediante el deslizamiento del sistema dinámico a lo largo de una superficie deslizante, donde la ley control tiene parametros  $k$  y  $\lambda$ . [6]

$$\ddot{q} = f + \tau \quad (3)$$

Donde,  $f = -M^{-1}(V\dot{q} + G)$  es la dinamica del sistema sin incertidumbres.

Para el control de posición del robot se define el error de espacio [6]  $\tilde{q} \in R^4$ , donde:

$$\tilde{q} = q - q_d \quad (4)$$

Donde,  $q_d = [\theta_{(d)} \ \dot{\theta}_{(d)} \ \varphi_{(d)} \ \dot{\varphi}_{(d)}]^T$  son los ángulos de espacio de configuración deseada que el robot tratara de alcanzar.

La superficie deslizante del sistema de segundo orden es:

$$s = \dot{\tilde{q}} + \lambda \tilde{q} \quad (5)$$

$$\dot{s} = \ddot{q} - \ddot{q}_d + \lambda \dot{\tilde{q}} = f + \tau - \ddot{q}_d + \lambda \dot{\tilde{q}} \quad (6)$$

La ley de control estimada  $\hat{\tau}$  se obtiene llevando a cero la superficie deslizante  $s$  [6], por lo tanto:

$$\hat{\tau} = \ddot{q}_d - \lambda \dot{\tilde{q}} - f \quad (7)$$

Finalmente la ley de control puede definirse como:

$$\tau = M(\hat{u} - k \operatorname{sgn}(s)) \quad (8)$$

Donde  $\operatorname{sgn}(s)$  está definido como:

$$\operatorname{sgn}(s) = \begin{cases} 1 & \text{si } s > 0 \\ 0 & \text{si } s = 0 \\ -1 & \text{si } s < 0 \end{cases}$$

La ley de control expresado en (8), obtenida por modos deslizantes, presenta un error de *Chattering*. Para eliminar el error, se suele adaptar una capa límite cerca de la superficie deslizante sustituyendo la función  $\operatorname{sgn}(s)$ , por una función de conmutación  $\operatorname{sat}(s)$ .

Donde  $\operatorname{sat}(s)$  está definido de la siguiente manera: [6]

$$\operatorname{sat}(s) = \begin{cases} \operatorname{sgn}(s) & \text{si } |s| > \delta \\ \frac{s}{\delta} & \text{si } |s| < \delta \end{cases}$$

Por lo tanto la variable de control por modos deslizantes por conmutación es:

$$\tau = M(\hat{u} - k \operatorname{sat}(s)) \quad (9)$$

### B. Control LQR

La forma final de la ecuación de movimiento se puede expresar como:

$$M(q)\ddot{q} = \tau - G(q) - V(q, \dot{q}) \quad (10)$$

Luego realizamos la transformación de las siguientes variables:

$$x_1 = q$$

$$x_2 = \dot{q}$$

Por lo tanto, el sistema se puede expresar como sigue:

$$\dot{x}_1 = x_2 \quad (11)$$

$$\dot{x}_2 = -M^{-1}Gx_1 - M^{-1}Vx_2 + M^{-1}\tau \quad (12)$$

Odenamos las ecuaciones (11) y (12) en forma matricial:

$$\begin{bmatrix} \dot{x}_1 \\ \dot{x}_2 \end{bmatrix} = \begin{bmatrix} 0 & I \\ -M^{-1}G & -M^{-1}V \end{bmatrix} \begin{bmatrix} x_1 \\ x_2 \end{bmatrix} + \begin{bmatrix} 0 \\ M^{-1} \end{bmatrix} \tau \quad (13)$$

Finalmente, podemos expresar el sistema a través de las ecuaciones (14) y (15).

$$\dot{x} = Ax + B\tau \quad (14)$$

$$y = Cx + Du \quad (15)$$

Donde,  $x$ ,  $\dot{x}$ ,  $\tau$ ,  $y$ ,  $A$ ,  $B$ ,  $C$  y  $D$  son el vector de estados, derivada del vector de estados, la variable de control, vector de salida, matriz de estados, matriz de control, matriz de salida y matriz de transmisión directa.

Dado la representación del sistema en la ecuación (14) y (15), el control LQR consiste en reducir la diferencia de los estados y la entradas representado mediante la siguiente función:

$$J = \int_0^\infty (x^T Q x + \tau^T R \tau) dt \quad (16)$$

La ley de control LQR se obtiene por realimentación de estados:

$$\tau = -Gx \quad (17)$$

Donde,  $G = R^{-1}B^T Px$ . Ahora solo  $P$  es la variable desconocida, que se obtiene resolviendo la Ecuación Algebraica de Ricatti, mediante el comando *care* en Octave.

## IV. PRUEBAS EXPERIMENTALES

### A. Prueba con SMC

Las simulaciones se realizaron en el entorno de Python, que es un lenguaje de alto rendimiento con librerías enfocadas en la operación con matrices, ploteo de funciones y soluciones numéricas. El código es adaptado de [8]. El aporte al código fue diseñar la función *sat(s)* y plotear las leyes de control.

La figura 3 muestra los resultados de tracking para las condiciones iniciales  $q_o = [\pi/6; 1; 0; 0]$  utilizando control por modos deslizantes y la función *sgn(s)*, se observa un elevado consumo de energía en el controlador y la presencia

de chattering en las leyes de control.

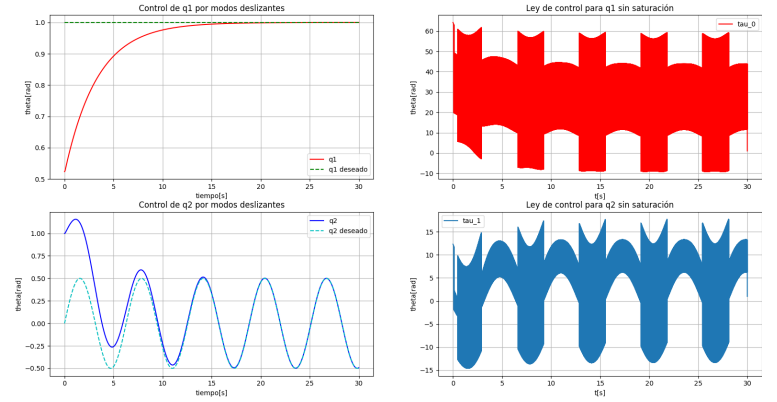


Fig. 3. Control por Modos Deslizantes

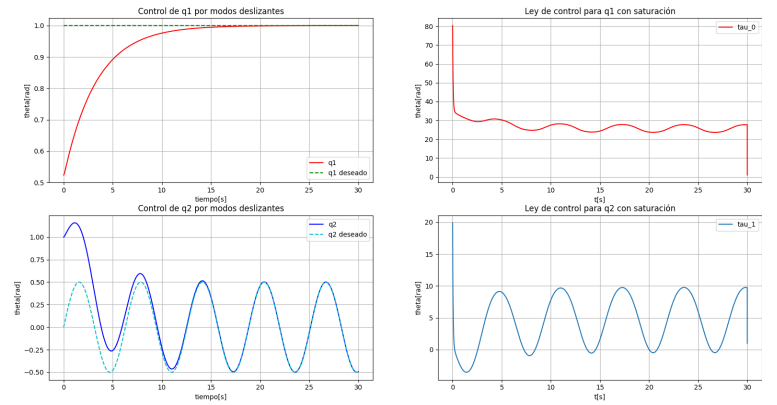


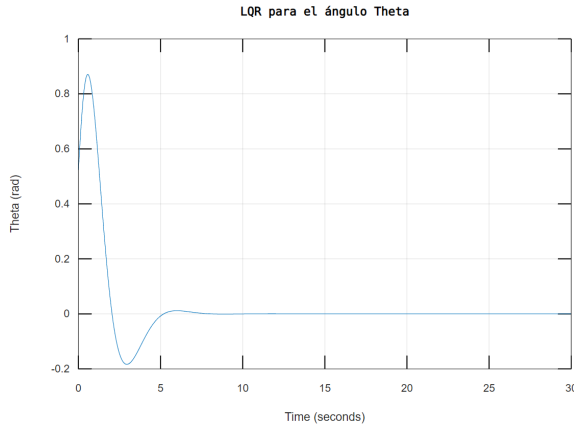
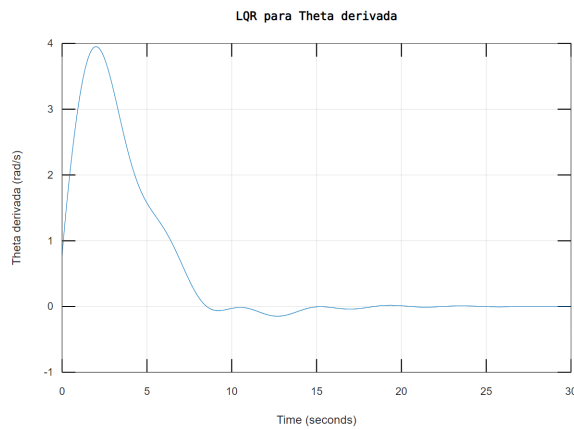
Fig. 4. Control por Modos Deslizantes por conmutación

La figura 4 muestra los resultados del control de modos deslizantes por conmutación o switching. La aproximación nos permitió eliminar el efecto de castañeteo suavizando la discontinuidad a una región limitada alrededor de la superficie deslizante y provocando menor consumo de energía del controlador.

### B. Prueba con LQR

Las pruebas para el control LQR se desarrollo en Octave. Para la primera prueba (Fig. 7) hemos considerado  $Q = 30(I)$ , lo cual acelera el rendimiento del sistema reduciendo la estabilización de  $\theta$  a 7 segundos aproximadamente. Si  $Q = I$ ,  $\theta$  demora hasta 30 segundos.

La segunda prueba consiste en modificar  $R = 20(I)$ , lo cual muestra que la velocidad angular tarda en estabilizarse 20 segundos, mientras que para  $R = 0.01(I)$ ,  $\dot{\theta}$  tarda 10 segundos.

Fig. 5. LQR para  $\theta$ , con  $Q = 30(I)$ Fig. 6. LQR para  $\dot{\theta}$ , con  $R = 20(I)$ 

## V. EVALUACIÓN DE RESULTADOS

### A. Resultados para SMC

Los resultados de control por modos deslizantes se observa en la Figura 3 y 4. En la Fig. 3 se muestran los resultados para la ley de control (8), donde  $q_1$ , que representa a posición del ángulo  $\theta$  en (rad) y  $q_2$ , que representa la velocidad angular de  $\theta$  en (rad/s), consiguen el tracking a partir de los 17 segundos. Pero, el error de Chattering del sistema es demasiado alto. En la Fig. 4 se muestran los resultados para la ley de control (9), en donde se aprecia considerablemente la reducción del error de Chattering. Además, para ambas figuras podemos ver que la trayectoria deseada puede ser cualquier valor o función.

### B. Resultados para LQR

Los resultados para el control LQR, se muestran en la figura 5 y 6. Como se observa en la Fig. 5, la posición angular  $\theta$ , alcanza el equilibrio en menos de 11 segundos, incluso tarda menos que el sistema controlado por modos deslizantes. Esto se consigue aumentando los valores de la matriz diagonal  $Q$ , es decir que podemos optimizar el rendimiento del sistema a partir de la matriz  $Q$ . En la Fig. 6 se puede apreciar que la velocidad angular de  $\theta$  demora en estabilizarse casi 20 segundos, pero este tiempo puede ser reducido disminuyendo

la matriz  $R$ . Significa que el sistema consume mayor energía a medida que  $R$  disminuye.

## VI. CONCLUSIONES

En este trabajo hemos desarrollado dos métodos de control para un manipulador robótico continuo dado su modelado descrito en la sección II. A partir de las pruebas experimentales y la evaluación de los resultados podemos comparar ambos métodos de control, las ventajas de uno con respecto a la otra.

Con el controlador SMC, tenemos la ventaja de darle una trayectoria deseada a las variables de estado del sistema, es decir podemos dar un valor o una función diferente a cero, lo que no es posible con el método de control LQR, ya que este último minimiza la función de coste a cero. También el SMC garantiza un tracking perfecto. Sin embargo, hay discontinuidad a lo largo de la superficie  $s$ , lo que se conoce como efecto chattering, dependiendo de que tan lejos esté la trayectoria deseada menor será el rendimiento del control.

Con el controlador LQR, el robot continuo recorre desde la distancia mas corta desde su posición inicial hasta llegar a la referencia, lo cual implica más rapidez en la respuesta del sistema debido a que no hace trayectorias innecesarias, cuando se requiere que alcance a una referencia determinada. Por lo tanto su ventaja principal respecto al controlador SMC, es la versatilidad de elegir la matriz  $Q$  y  $R$ , estos nos permitirán priorizar el rendimiento o el consumo de energía del sistema, logrando incluso mayor rapidez que SMC.

## REFERENCES

- [1] O. Organización Panamericana de la Salud, "La oms revela las principales causas de muerte y discapacidad en el mundo: 2000-2019," 2020. [Online]. Available: <https://www.paho.org/es/noticias/9-12-2020-oms-revela-principales-causas-muerte-discapacidad-mundo-2000-2019>
- [2] V. Mosquera, O. Vivas, and C. Rengifo, "Modelado y simulación de un robot para cirugía," vol. 5, no. 10, pp. 45–50, 2012, revista de Ingeniería de Biomédicas. [Online]. Available: <http://www.scielo.org.co/pdf/rinbi/v5n10/v5n10a06.pdf>
- [3] M. Dehghani and S. Mossavian, "Dynamics modeling of planar continuum robots by finite circular elements for motion control," *Soft Robotic and Object Manipulation*, 2015.
- [4] L. Wang, G. Del Giudice, and N. Simaan, "Simplified kinematics of continuum robot equilibrium modulation via moment coupling effects and model calibration," 2019, department of Mechanical Engineering Vanderbilt University.
- [5] O. Moussa, M. Mira, A. Fahmy, and E. Morgan, "Behavioral assessment of various control laws formulations for position tracking of multi-sectioning modeled continuum robots," *Mechatronics and Automation*, 2019, 2019 IEEE 7th International Conference on Control,.
- [6] W. Zhipeng, L. Qiang, X. Hong, and S. Runjie, "An analytic method for the kinematics and dynamics of a multiple-backbone continuum robot," 2012, department of Control Science Engineering, Tongji University, Shanghai, China.
- [7] Y. Yan, Q. Peng, A. Kaspar, and L. H.K., "Lagrangian dynamics and nonlinear control of a continuum manipulator," 2015, IEEE Conference on Robotics and Biomimetics.
- [8] S. H. Mark W. Spong and M. Vidyasagar, "Robot dynamics and control, nonlinear control simulator," 2010. [Online]. Available: <https://github.com/dohyeoklee/Non-linear-control-simulator/tree/main/src>
- [9] R. J. Webster III and B. A. Jones., "Design and kinematic modeling of constant curvature continuum robots: A review," 2010, the International Journal of Robotics Research 29.13.
- [10] H. Abdul Rashid, N. A. Mohamad, and M. Y. Abdul Halim, "Chattering-free sliding mode control for an active magnetic bearing system," 2008, world Academy of Science, Engineering and Technology.

# Apéndice

## Código Control por modos deslizantes en Phyton

```
1  import numpy as np
2  import numpy as np
3  from scipy import linalg
4  import matplotlib.pyplot as plt
5
6
7  class Control():
8
9      @staticmethod
10     def modos_deslizantes(dyn,X,d_set,_):
11
12         Lambda = 0.3
13         k = 2
14
15         q_deseado = np.array ([[d_set[0]], [d_set[1]]])
16         q_deseado_dot = np.array ([[d_set[2]], [d_set[3]]])
17         q_deseado_ddot = np.array ([[d_set[4]], [d_set[5]]])
18
19         q = X[0:2,0]
20         q_dot = X[2:4,0]
21
22         q_tilda = q-q_deseado
23         q_tilda_dot = q_dot-q_deseado_dot
24
25         S = q_tilda_dot + Lambda*q_tilda
26         f = -dyn.M_inv @ (dyn.V@q_dot + dyn.G)
27         u_hat = q_deseado_ddot - Lambda*q_tilda_dot - f
28         #print(dyn.G)
29         #
30         def sat(S):
31             d = np.array ([[0.1], [0.1]])
32             if S[0,:] > d[0,:] and S[1,:] > d[1,:] == True:
33                 return np.sign(S)
34             else:
35                 return S/d
36         #
37
38         #u = dyn.M @ (u_hat - k*np.sign(S))
39         u = dyn.M @ (u_hat - k*sat(S))
40
41         return u,None
42
43     class Cinematica(object):
44
45         m_1 = 1.0                #masa del primer frame
46         m_2 = 1.0                #masa del segundo frame
47         L_c1 = 1.0               #longitud del primer frame al centro de masa del
48                                 primer brazo
49         L_c2 = 1.0               #longitud del segundo frame al centro de masa
50                                 del primer brazo
51         L_1 = 2*L_c1             #longitud del primer frame
```

```

50     L_2 = 2*L_c2                #longitud del segundo frame
51     I_1 = (m_1*L_1**2)/3        #momento de inercia del primer frame con
    respecto al origen
52     I_2 = (m_2*L_2**2)/3        #momento de inercia del segundo frame con
    respecto al primer frame
53     G = 9.8                    #constante de gravedad
54
55     def theta_nominal(self):
56
57         theta_1 = self.m_1*self.L_c1**2 + self.m_2*(self.L_1**2+self.L_c2
    **2) + self.I_1 + self.I_2
58         theta_2 = self.L_1*self.L_c2
59         theta_3 = self.m_2*self.L_c2**2 + self.I_2
60         theta_4 = self.m_1*self.L_c1 + self.m_2*self.L_1
61         theta_5 = self.m_2*self.L_c2
62         return np.array([theta_1],[theta_2],[theta_3],[theta_4],[theta_5]))
63
64     class Dinamica(Cinematica):
65
66         # M= matriz de inercia
67         # M_inv = inversa de la matriz de inercia
68         # V : matriz de par de Coriolis centr fugo
69         # G : matriz sobre pares gravitacionales
70
71         def __init__(self,X,dt):
72             self.X = X
73             self.dt =dt
74             self.M = self.matriz_M()
75             self.M_inv = self.matriz_M_inv()
76             self.V = self.matriz_V()
77             self.G = self.matriz_G()
78
79         def matriz_M(self):
80
81             q_2 = self.X[1,0]
82             d_11 = self.m_1*self.L_c1**2 + self.m_2*(self.L_1**2+self.L_c2**2+2*
    self.L_1*self.L_c2*np.cos(q_2))+self.I_1+self.I_2
83             d_12 = self.m_2*(self.L_c2**2+self.L_1*self.L_c2*np.cos(q_2))+self.
    I_2
84             d_22 = self.m_2*self.L_c2**2+self.I_2
85             return np.array([d_11,d_12],[d_12,d_22]))
86
87         def matriz_M_inv(self):
88
89             q_2 = self.X[1,0]
90             d_11 = self.m_1*self.L_c1**2 + self.m_2*(self.L_1**2+self.L_c2**2+2*
    self.L_1*self.L_c2*np.cos(q_2))+self.I_1+self.I_2
91             d_12 = self.m_2*(self.L_c2**2+self.L_1*self.L_c2*np.cos(q_2))+self.
    I_2
92             d_22 = self.m_2*self.L_c2**2+self.I_2
93             det = d_11*d_22-d_12**2
94             inv_11 = d_22/det
95             inv_12 = -d_12/det
96             inv_22 = d_11/det
97             return np.array([inv_11,inv_12],[inv_12,inv_22]))

```

```

98
99 def matriz_V(self):
100
101     q_2 = self.X[1,0]
102     q_dot_1 = self.X[2,0]
103     q_dot_2 = self.X[3,0]
104     h = -self.m_2*self.L_1*self.L_c2*np.sin(q_2)
105     c_11 = h*q_dot_2
106     c_12 = h*q_dot_2 + h*q_dot_1
107     c_21 = -h*q_dot_1
108     return np.array([[c_11,c_12],[c_21,0]])
109
110 def matriz_G(self):
111
112     q_1 = self.X[0,0]
113     q_2 = self.X[1,0]
114     g_1 = (self.m_1*self.L_c1+self.m_2*self.L_1)*self.G*np.cos(q_1) +
115           self.m_2*self.L_c2*self.G
116     g_2 = self.m_2*self.L_c2*self.G*np.cos(q_1+q_2)
117     return np.array([[g_1],[g_2]])
118
119 def dyn_update(self,tau):
120
121     dt = self.dt
122     q_ddot = self.M_inv @ (tau - self.V@np.array([[self.X[2,0]],[self.X
123           [3,0]]]) - self.G)
124     return self.X + np.mat([[self.X[2,0]*dt + (q_ddot[0,0]*dt**2)/2],\
125           [self.X[3,0]*dt + (q_ddot[1,0]*dt**2)/2],[q_ddot[0,0]*dt],[
126           q_ddot[1,0]*dt]])
127
128 if __name__ == '__main__':
129
130     f = 1e3
131     t_max = 30
132     t_lista = np.linspace(0,t_max,int(t_max*f))
133     t = t_lista
134     dt = 1/f
135
136     X = np.mat([[np.pi/6],[1],[0],[0]])
137
138     q1_lista = [X[0,0]]
139     q2_lista = [X[1,0]]
140
141     q1_deseado = [1 for _ in t]
142     q2_deseado = [0.5*np.sin(t_i) for t_i in t]
143     q1_deseado_dot = [0 for _ in t]
144     q2_deseado_dot = [0.5*np.cos(t_i) for t_i in t]
145     q1_deseado_ddot = [0 for _ in t]
146     q2_deseado_ddot = [-0.5*np.sin(t_i) for t_i in t]
147     q_deseado_set = np.array([d_set for d_set in zip(q1_deseado,q2_deseado,
148           q1_deseado_dot,q2_deseado_dot,q1_deseado_ddot,q2_deseado_ddot)])
149
150 def normalizar_angulo(theta):
151     return (((theta+np.pi) % (2*np.pi)) - np.pi)

```

```

149
150 q1_deseado_set = [normalizar_angulo(q1_d) for q1_d in q_deseado_set
151                   [:,0]]
152
153 q2_deseado_set = [normalizar_angulo(q2_d) for q2_d in q_deseado_set
154                   [:,1]]
155
156 q1_e_lista = [q_deseado_set[:,0][0] - X[0,0]]
157 q2_e_lista = [q_deseado_set[:,1][0] - X[1,0]]
158
159 control = Control()
160 Cinematica = Cinematica()
161 theta = Cinematica.theta_nominal()
162 #print(theta)
163
164 def plotear():
165
166     plt.figure(1)
167     plt.subplot(221)
168     line1,=plt.plot(t,q1_lista,'r-')
169     line1_d,=plt.plot(t,q1_deseado,'g-')
170     plt.legend(handles=(line1,line1_d),labels=("q1","q1 deseado"))
171     plt.title("Control de q1 por modos deslizantes")
172     plt.xlabel("tiempo [s]")
173     plt.ylabel("theta [rad]")
174     plt.grid()
175
176     plt.subplot(223)
177     line2,=plt.plot(t,q2_lista,'b-')
178     line2_d,=plt.plot(t,q2_deseado,'c-')
179     plt.legend(handles=(line2,line2_d),labels=("q2","q2 deseado"))
180     plt.title("Control de q2 por modos deslizantes")
181     plt.xlabel("tiempo [s]")
182     plt.ylabel("theta [rad]")
183     plt.grid()
184
185     plt.subplot(222)
186     plt.plot(t, data[:,1], 'r-', label = "tau_0")
187     plt.legend()
188     plt.title("Ley de control para q1 con saturaci n")
189     plt.ylabel("theta [rad]")
190     plt.xlabel("t [s]")
191     plt.grid()
192
193     plt.subplot(224)
194     plt.plot(t, data[:,2], label = "tau_1" )
195     plt.legend()
196     plt.title("Ley de control para q2 con saturaci n")
197     plt.ylabel("theta [rad]")
198     plt.xlabel("t [s]")
199     plt.grid()
200     plt.show()
201
202     tau0_matrix= np.ones(len(t_lista))

```



```

202     tau1_matrix= np.ones(len(t_lista))
203
204
205     for i in range(len(t_lista)-1):
206         dyn = Dinamica(X,dt)
207         #print(dyn)
208
209         tau,theta = control.modos_deslizantes(dyn,X,q_deseado_set[i+1],theta
210         )
211
212         #print(tau)
213         tau0_matrix[i]=tau0_matrix[i]*tau[0,:]
214         tau1_matrix[i]=tau1_matrix[i]*tau[1,:]
215         X = dyn.dyn_update(tau)
216
217         q1_lista.append(normalizar_angulo(X[0,0]))
218         q2_lista.append(normalizar_angulo(X[1,0]))
219
220         q1_e_lista.append(normalizar_angulo(q_deseado_set[:,0][i+1]-X[0,0]))
221         q2_e_lista.append(normalizar_angulo(q_deseado_set[:,1][i+1]-X[1,0]))
222
223     #print(tau0_matrix)
224     data = np.column_stack([t, tau0_matrix, tau1_matrix])
225     np.savetxt("data.txt", data )
226     plotear()

```

## Código Control LQR en Ocatve

```

1  clear all; close all;
2  M=[12.21145836 4.10572918;4.10572918 2.33333333];
3  V=[7.30883872e-02 7.31053723e-02; -1.69850758e-05 0.00000000e+00];
4  G=[25.68636509 0; 8.57172686 0];
5  m=inv(M);
6  I=[0 0 1 0; 0 0 0 1];
7  A=[I;-(m)*G -(m)*V]
8  B=[0 0; 0 0; m]
9  C=[1 0 0 0];
10 D=0;
11
12 % Initial Conditions
13 x0 = [pi/6; % 3 radians
14       pi/4;
15       1;
16       3]; % 0 rad/s
17 % Control Law
18 Q = [1 0 0 0; % Penalize angular error
19      0 1 0 0;
20      0 0 1 0;
21      0 0 0 1]; % Penalize angular rate
22 R = [0.01 0; 0 0.01]; % Penalize thruster effort
23 K = lqr(A,B,Q,R);
24
25 % Closed loop system
26 sys = ss((A - B*K), B, C, D);
27
28 % Run response to initial condition

```

```

29  t = 0:0.005:30;
30  [y,t,x] = initial(sys, x0, t);
31
32  plot(t,x(:,1,1))
33  grid
34  title('LQR_para_el_ngulo_Theta')
35  ylabel('Theta(rad)')
36  xlabel('Time(seconds)')
37  pause
38
39  plot(t,x(:,2,1))
40  grid
41  title('LQR_para_Theta_derivada')
42  ylabel('Theta_derivada(rad/s)')
43  xlabel('Time(seconds)')
44  pause
45
46  plot(t,x(:,3,1))
47  grid
48  title('LQR_para_el_ngulo_Varphi')
49  ylabel('Varphi(rad)')
50  xlabel('Time(seconds)')
51  pause
52
53  plot(t,x(:,4,1))
54  grid
55  title('LQR_para_Varphi_derivada')
56  ylabel('Varphi_derivada(rad/s)')
57  xlabel('Time(seconds)')
58  pause

```